

بررسی رفتار آیروالاستیک غیرخطی بالواره با وجود جدایش جریان براساس مدل واماندگی استاتیکی درجه سه

شاخرخ شمس^{۱*}، محمد رضا کاظمی^۲، بابک میرزاوند بروجنی^۱، زهرا خجسته بخته کوپایی^۳

- ۱- استادیار، مهندسی هواپیما، دانشگاه تهران، تهران
 ۲- کارشناسی ارشد، مهندسی هواپیما، دانشگاه تهران، تهران
 ۳- کارشناسی ارشد، مهندسی هواپیما، دانشگاه آزاد اسلامی واحد گرمسار، گرمسار
 *تهران، متندوق پستی shahrokh.shams@ut.ac.ir، ۱۴۳۹۹-۵۵۵۹۴۱

چکیده

در این مقاله با معرفی یک الگوی جدید آیرودینامیک برای شبیه‌سازی جدایش جریان و واماندگی استاتیکی، شکل جدیدی از معادلات آیروالاستیک غیرخطی بالواره‌های دو درجه آزادی (خمشی عمودی و پیچشی) استخراج می‌شود. روابط سازه براساس مدل جرم-فنر و حاوی ترم‌های غیرخطی درجه دو و سه است. روابط آیرودینامیک از تلفیق الگوی آیرودینامیک ناپایا و گیر و الگوی غیرخطی ضرب برا-زاویه‌حمله برای شبیه‌سازی واماندگی جریان با تقریب معادله درجه سه، بدست می‌آید. برای استخراج معادلات آیروالاستیک از اصل همیلتون و معادلات لاگرانژ استفاده می‌شود. همچنین با به کارگیری شوه حل تاریخچه زمانی انتگرال-دیفرانسی حاصله، حل و رفتار آیروالاستیک قطعه مذکور در هر دو رژیم جریان ناپایا و شبه‌پایا با یکدیگر مقایسه می‌شود. استفاده از روش تاریخچه زمانی در حل معادلات باعث کاهش حجم معادلات در مقایسه با روش فضایی حالت می‌گردد. نتایج نشان می‌دهد که رفتار آیروالاستیک بالواره با وجود سازه خطی، با استفاده از الگوی آیرودینامیکی غیرخطی معروف شده برای واماندگی در مقایسه با الگوهای خطی آیرودینامیک، در جریان‌های شبه‌پایا و ناپایا باعث ایجاد نوسانات با سیکل حدی می‌شود. همچنین استفاده از الگوی منحنی درجه سه بهای منحنی تکمایی خطی مورد استفاده در مراجعه هرچند باعث پیچیده‌تر شدن شکل ظاهری معادلات می‌شود لیکن در زمان حل توسط نرم‌افزار، همگرایی حل سریعتری خواهد داشت و باعث حذف خطاهای موجود در مدل‌های مذکور می‌شود. بررسی‌ها نشان می‌دهد که استفاده از آیرودینامیک غیرخطی استاتیک استال علاوه بر کاهش سرعت ناپایداری، دامنه نوسانات سیکل محدود را نیز در هر دو رژیم جریان شبه پایا و ناپایا کاهش می‌دهد.

اطلاعات مقاله

مقاله پژوهشی کامل	1395
دریافت: ۲۷ اردیبهشت	۱۳۹۵
پذیرش: ۰۴ مهر	۱۳۹۵
ارائه در سایت: ۲۱ اذر	۱۳۹۵
کلید واژگان:	
واماندگی استاتیکی	
آیرودینامیک ناپایا و گیر	
روش تاریخچه زمانی انتگرال	
نوسانات با سیکل حدی	

Investigation of nonlinear aeroelastic behavior of airfoils with flow separation based on cubic static stall modeling

Shahrokh Shams^{1*}, MohammadReza Kazemi¹, Babak Mirzavand Borojeni¹, Zahra Khojasteh Bakhteh Koupaie²

۱- Department of Aerospace Engineering, Faculty of New Sciences and Technologies, University of Tehran, Tehran, Iran

۲- Department of Engineering, Islamic Azad University of Garmas, Garmas, Iran

* P.O.B. 14399-55941, Tehran, Iran, shahrokh.shams@ut.ac.ir

ARTICLE INFORMATION

Original Research Paper

Received 16 May 2016

Accepted 25 September 2016

Available Online 11 December 2016

Keywords:

Static stall

Wagner unsteady aerodynamic

Integration historical method

Limit Cycle Oscillations (LCO)

ABSTRACT

In this paper, by defining a new paradigm for nonlinear aerodynamic equations of flow separation and static stall, a new form of nonlinear aeroelastic equations for two degrees of freedom airfoils (torsional and bending) are presented. Structural equations are based on the nonlinear mass-spring model which includes the nonlinear quadratic and cubic terms. Aerodynamic equations are obtained by combining the unsteady Wagner model and the nonlinear lift coefficient-angle of attack for simulating stall using a cubic approximation. Hamilton's principle and Lagrange equations were used to derive the aeroelastic equations. The obtained integro-differential nonlinear aeroelastic equations are solved using a time-history integration method. The aeroelastic behavior of the airfoil is compared in both unsteady and quasi-steady flow. Using the time-history method compared to the phase space method leads to fewer equations. The results show that the aeroelastic behavior of airfoil with a linear structure, using a nonlinear aerodynamic theory for the stall, causes oscillations with a limit cycle in unsteady and quasi-steady flow compared to other linear aerodynamic theories. Also, the use of the cubic curve instead of the piecewise linear curves which are commonly used in other references, causes an apparent complication of the equations, reduces the computational time due to faster convergence in solution and makes the reduction in errors. The results show that the use of nonlinear aerodynamic static stall not only reduces the instability velocity, but also reduces the amplitude of limit cycle oscillations in both unsteady and quasi-steady regimes.

- مقدمه ۱

آزادی و متمرکز شدن بر روی آثار غیرخطی توسط محققین بسیاری، به دلیل سودمندی آن، همواره مورد توجه بوده است. درک رفتار غیرخطی سیستم امروزه بررسی رفتار آیروالاستیک مقطع دوبعدی با در نظر گرفتن دو درجه

Please cite this article using:

Sh. Shams, M. Kazemi, B. Mirzavand Borojeni, Z. Khojasteh_Bakhteh_Koupaie, Investigation of nonlinear aeroelastic behavior of airfoils with flow separation based on cubic static stall modeling, *Modares Mechanical Engineering*, Vol. 16, No. 12, pp. 311-322, 2016 (in Persian)

برای ارجاع به این مقاله از عبارت ذیل استفاده نمایید:

Sh. Shams, M. Kazemi, B. Mirzavand Borojeni, Z. Khojasteh_Bakhteh_Koupaie, Investigation of nonlinear aeroelastic behavior of airfoils with flow separation based on cubic static stall modeling, *Modares Mechanical Engineering*, Vol. 16, No. 12, pp. 311-322, 2016 (in Persian)

از صوت، همبند شدن⁸ درگ با تغییر مکان های عمودی، بال را به سمت واگرایی سوق می دهد که در قیاس با نتایج خطی میزان پیچش نوک بال بیشتر شده و باعث وقوع واماندگی نوک بال می شود⁹ [9].

در سال 2010 بدیعی و همکاران با اصلاح جریان و گنرال گوئی غیرخطی از این جریان را معرفی نمودند و با استفاده از این الگو بررسی های خود را بر روی بال ایزوتروپ صورت دادند. آنها برای مدل سازی بخش غیرخطی منحنی $\alpha - C$ از پاره خط های مشخص در محدوده های معین استفاده کردند و نشان دادند با افزایش تعداد این پاره خط ها می توان بخش غیرخطی منحنی را با دقت بیشتری تقریب زد [10]. در همین سال وای و ژیتون فلاتر یک بالواهه دو درجه آزادی با سختی غیرخطی را در حالت پیچ بررسی کردند. در این مطالعه با در نظر گرفتن یکتابع احتمال در حالت پیچ برای سختی پیچشی، سرعت فلاتر و احتمال فلاتر آن بررسی شد [11]. ایرانی و همکاران در سال 2011 یک بالواهه با سه درجه آزادی را با استفاده از روش تحلیلی بالانس هارمونیک¹⁰ بررسی کردند و با در نظر گرفتن سازه به صورت غیرخطی مرز ناپایداری و نوسانات با چرخه محدود و پدیده دو شاخه ای شدن را مطالعه کردند [12]. گلپرور و ایرانی در سال 2013 با استفاده از آزمون تجربی به تحلیل غیرخطی یک بالواهه دو درجه آزادی در جریان مادون صوت تراکم ناپذیر پرداخته و با استفاده از نتایج تولن باد نشان دادند افزایش نسبت فرکانسی باعث کاهش سرعت فلاتر می شود که این کاهش در یک نسبت فرکانسی خاص به حداقل رسیده و سپس دوباره افزایش می پاید [13].

همان طور که مشاهده می شود در سال های اخیر تلاش های فراوانی برای مدل سازی رفتار غیرخطی آبروالاستیک بالواهه صورت پذیرفته است. با توجه به همین دیدگاه در مقاله حاضر نیز، معادلات جدید آبروالاستیک بالواهه در جریان تراکم ناپذیر و غیر لرج و محدوده رزیم جریان زیر صوت با کمک اصل همیلتون و معادلات لاغرانژ با در نظر گرفتن دو درجه آزادی پیچشی و خم ش عمودی، از تلفیق مدل غیرخطی سازه بالواهه و مدل غیرخطی جدید آبروالاستیک در حالت واماندگی استاتیکی، استخراج می شود. روابط حاکم بر سازه براساس مدل جرم- فنر و حاوی ترم های غیرخطی درجه دو و سه می باشد. مدل جدید آبروالاستیک نیز از تلفیق الگوی آبروالاستیک ناپایداری و گنرال و الگوی غیرخطی ضریب برآزاویه حمله برای شبیه سازی واماندگی جریان با تقریب معادله درجه سه، حاصل می گردد. برای حل این معادلات از روش تاریخ چه زمانی انتگرال و روش عددی آدامز- گری¹¹ بهره گرفته می شود. در نهایت برای تعیین صحت نتایج و نشان دادن دقت روش ارائه شده، نتایج به دست آمده با نتایج مراجع مختلف مقایسه می گردد. نتایج نشان می دهد، الگوی جدید آبروالاستیک ارائه شده علاوه بر حذف خطاهای حل عددی مربوط به روش های گذشته دقت خوبی در مدل سازی رفتار آبروالاستیک بالواهه در شرایط واماندگی استاتیکی دارد.

2- مدل سازی مسئله

برای شبیه سازی رفتار سازه الگوهای مشخصی وجود دارد که بسته به رفتار و ابعاد و مواد به کار رفته تغییر می کنند. برای بررسی پدیده های دینامیکی آبروالاستیک از جمله فلاتر و سرعت ناپایداری، ابتدا بایستی الگوی مناسبی برای مدل سازی دینامیکی جسم و معادلات حاکم بر آن ایجاد نمود. این امر مستلزم بددست آوردن معادلات حرکت سیستم الاستیک مذکور تحت بارهای

آبروالاستیک به منظور انجام یک طراحی ایمن و کارآمد در بال های هوایگرد و سطوح کنترل آن از اهمیت خاصی برخوردار است. اگرچه استفاده از الگوی آبروالاستیک کلاسیک خطی به دلیل سادگی همواره مورد توجه بوده، اما استفاده از آن در عمل موجب نادیده گرفتن آثار غیرخطی آبروالاستیک در سیستم آبروالاستیک از جمله جدایش جریان شده که خود موجب پدیدار شدن خطاهایی در حل می گردد. تحلیل آثار غیرخطی آبروالاستیک مشکل تر از آثار غیرخطی سازه ای است، زیرا در عمل حل تحلیلی معادلات حاکم بر حرکت سیال موجود نبوده یا بسیار مشکل است. از همین رو بررسی رفتار غیرخطی آبروالاستیک این مقاطع، با لحاظ نمودن آثار غیرخطی آبروالاستیکی همواره مورد توجه بسیاری از محققین در این زمینه بوده است. داگونجی در سال 1992 منابع ایجاد کننده آبروالاستیک غیرخطی را توضیح داد [1]. بر طبق این دسته بندی کرد و با کمک مثال هایی هریک را توضیح داد [1]. بر طبق این دسته بندی، آبروالاستیک غیرخطی هم می تواند ناشی از آبروالاستیک و هم می تواند ناشی از سازه باشد. غیرخطی سازه ای می تواند ناشی از غیرخطی هندسی مانند تغییر مکان با دامنه های بزرگ، اتصالات و سیستم های کنترل یا غیرخطی مواد باشد. غیرخطی آبروالاستیکی می تواند ناشی از زاویه حمله های بزرگ، رزیم های جریانی گذر از صوت، شوک، جدایش جریان و شکل بلaf¹ باشد. پاتیل و هاجز رفتار پروازی هوابیمایی با بال بلند را در رزیم جریان زیر صوت بررسی کردند. در این بررسی معادلات سازه ای تیر به کمک روابط هامیلتون و معادلات آبروالاستیکی بر مبنای فرضیه حالت محدود پیترز الگوسازی شدند. فرضیه پیترز با اعمال الگوهای واماندگی نظیر مدل اونرا برای حالت واماندگی نیز قابل استفاده است [2]. در سال 2000 پریدیکمن و موک نشان دادند که آبروالاستیک غیرخطی به تنهایی می تواند باعث نوسانات با سیکل حدی شود [3]. در همان سال لیو و همکاران با کمک الگوی مقطع بال دو درجه آزادی و آبروالاستیک ناپایا با استفاده از تابع و گنر، کاربردهای فرضیه منیفولد مرکزی² را در آبروالاستیک غیرخطی نشان دادند [4]. هال با راهنمایی موک، نایفه و پریدیکمن در همین سال بر مبنای شکل مدهای پایه سازه ای تیر اولر- برنولی و شبکه گردابه ای³ آبروالاستیک غیرخطی ناپایا، نشان دادند که غیرخطی بودن الگوی آبروالاستیک به تنهایی می تواند باعث وقوع نوسانات با سیکل حدی شود [5]. پاتیل و هاجز نیز با استفاده از الگوی دینامیک ذاتی تیر⁴ و آبروالاستیک ناپایا حالت محدود⁵ با در نظر گرفتن رفتار واماندگی بال نشان دادند رفتار پس از فلاتر⁶ بال به صورت نوسانات با سیکل حدی است. آنها با استفاده از پاره خط هایی به شبیه سازی منحنی ضریب برآزاویه حمله پرداخته و توانستند الگوی غیرخطی آبروالاستیک را در ناحیه وامانده شبیه سازی کنند [6]. تنگ و داول رفتار آبروالاستیک تجربی بال با نسبت منظری بالا را بررسی و نتایج تجربی پاسخ این نوع بال به تدبیاد را با نتایج تئوری مقایسه کردند [8,7]. جوزف گارسیا در سال 2005، بال های انعطاف پذیر را در رزیم گذر از صوت بررسی کرد. او در این فعالیت با مدل سازی تیر سه بعدی به روش اجزای محدود و الگوی آبروالاستیک اوبلر/ ناویر- استوکس در دینامیک سیالات محاسباتی⁷، الگوی غیرخطی آبروالاستیک بال انعطاف پذیری را ایجاد کرد و نشان داد در رزیم جریان گذر

¹ Bluff Body

² Center Manifold

³ Vortex Lattice

⁴ Intrinsic Equations for Dynamics of Beams

⁵ Finite-State Unsteady Aerodynamics with Stall

⁶ Post Flutter

⁷ Computational fluid dynamics

نمود [14]. در مقاله حاضر علاوه بر در نظر گرفتن ترم‌های غیرخطی مرتبه سه برای سختی سازه‌ای، ترم‌های غیرخطی دیگری شامل ترم‌های مرتبه دو و ترم‌های غیرخطی حاوی ضرب حالت‌های مختلف در درجات آزادی خمشی و پیچشی نیز، در نظر گرفته شده است. لذا می‌توان نوشت:

$$\begin{aligned} m\ddot{w} + S_\alpha \ddot{\theta} + K_w w + K_{w_2} w^2 + K_{w_3} w^3 + K_\theta \theta + K_{\theta_2} \theta^2 \\ + K_{\theta_3} \theta^3 + K_{w\theta} w\theta + K_{w2\theta} w^2\theta + K_{w\theta 2} w\theta^2 = -L \end{aligned} \quad (3-\text{الف})$$

$$\begin{aligned} S_\alpha \ddot{w} + I_\alpha \ddot{\theta} + K_\theta \theta + K_{\theta_2} \theta^2 + K_{\theta_3} \theta^3 + K_w w + K_{w_2} w^2 \\ + K_{w_3} w^3 + K_{w\theta} w\theta + K_{w2\theta} w^2\theta + K_{w\theta 2} w\theta^2 = M_{E,A} \end{aligned} \quad (3-\text{ب})$$

در روابط (3-الف) و (3-ب) پارامترهای S_α, I_α, m به ترتیب معرف جرم بالولاره، ممان اینرسی نسبت به محور الاستیک و ممان استاتیک هستند. پارامتر L نیروی برآ و جهت آن در خلاف جهت مثبت w (که به سمت پایین است) است. پارامتر $M_{E,A}$ برابر مقدار ممان نیروهای آبرودینامیکی در محل محور الاستیک است. جهت آن هم جهت با θ در جهت عقربه‌های ساعت و یا در خلاف جهت مثبت مثلثاتی است. K_w و ضرایب ترم‌های خطی سختی موجود در معادلات و $K_{w_2}, K_{w_3}, K_{\theta_2}, K_{\theta_3}$ ضرایب ترم‌های غیرخطی از سختی‌های خمشی و پیچشی موجود در مساله هستند.

2-1- معادلات حاکم بر آبرودینامیک

استفاده از الگوی آبرودینامیک کلاسیک خطی، موجب نادیده گرفتن آثار غیرخطی آبرودینامیکی در سیستم آبروالاستیک از جمله جدایش جریان شده که خود موجب پدیدار شدن خطاهایی در بررسی رفتار آبروالاستیک بال می‌گردد. برای کاهش این خطاهایی در زمینه شبیه‌سازی رفتار غیرخطی آبرودینامیک از جمله استفاده از منحنی ضریب برآ-زاویه حمله مناسب، صورت پذیرفته است که از جمله این کارها می‌توان به کار پاتیل و هاجز [6,2] اشاره نمود. منحنی $-C_L - \alpha$ استفاده شده در کار آن‌ها به سه ناحیه قبل، بعد و ناحیه استال محدود می‌شود که این تغییرات ضریب برآ-زاویه حمله در هر سه ناحیه به صورت خطی است. اگرچه استفاده از این روش، غیرخطی شدن مدل آبرودینامیکی ایشان را به دنبال دارد، اما فرض خطی بودن در هر ناحیه موجب فاصله گرفتن از رفتار واقعی در منحنی $-C_L - \alpha$ و ایجاد خطاهایی در محاسبات و همگرایی حل، به خصوص در ناحیه واماندگی می‌گردد. بدین معنی و همکارانش [10] با الگوگیری از کار پاتیل و هاجز [6,2] و با اصلاح الگوی آبرودینامیکی و گنر، الگوی غیرخطی از این جریان را معرفی نمودند. آن‌ها برای شبیه‌سازی بخش غیرخطی منحنی $-C_L - \alpha$ با توجه به مشخصات هر بالولاره، از پاره خط‌هایی مشخص در محدوده‌های معین استفاده کرده و نشان دادند، با افزایش تعداد این پاره خط‌ها می‌توان بخش غیرخطی منحنی را با دقت بیشتری تقریب زد. الگوی‌های ارائه شده توسط پاتیل و هاجز [6] و همچنین بدین معنی [10]، اگرچه تا حدود زیادی توانستند رفتاری غیرخطی از آبرودینامیک، در معادلات آبروالاستیکی را مدل‌سازی نمایند، اما استفاده از پاره خط‌هایی تکه‌ای هموار برای شبیه‌سازی رفتار غیرخطی منحنی $-C_L - \alpha$ به خصوص در نواحی اتصال پاره خط‌ها، خطاهایی را در پی داشته و موجب بروز اختلافاتی با مقدار واقعی نیروی برآ در این نقاط می‌گردد. علت این امر این است که در استفاده از پاره خط‌هایی تکه‌ای هموار پیوسته، بدليل مساوی نبودن شیب منحنی‌ها از دو طرف (یه دلیل ناپیوستگی در نقاط شکستگی تابع خط)، خطاهای قابل توجهی در زمان حل معادلات، در این نقاط مشاهده می‌شود [10].

آبرودینامیکی و نیروهای اینرسی است. بنابراین ایجاد یک الگوی آبروالاستیک را می‌توان در دو مرحله خلاصه نمود: شبیه‌سازی سازه‌ای و شبیه‌سازی آبرودینامیکی.

2-2- معادلات حاکم بر سازه

عموماً برای بررسی مسائل آبروالاستیک دینامیک از مدل‌های جرم و فنر مطابق "شکل 1" استفاده می‌شود. فنرهای به کار رفته سختی پیچشی و خمشی بالولاره را مدل می‌نمایند و در محل عبور محور الاستیک قرار داده می‌شوند. در این مدل نقاط $E.A$ و $c.g$ ، به ترتیب بیانگر نقطه مرجع (محلی که جایجایی w نسبت به آن اندازه‌گیری می‌شود) و مرکز جرم هستند و جهات مثبت قراردادی نیز مطابق جهات نشان داده شده در "شکل 1" است.

به‌طور کلی در محیط آبروالاستیک بهره‌گیری از روش‌های کار و انرژی به منظور استخراج معادلات حرکت حاکم بر سیستم کاربرد بیشتری دارد. از جمله این روش‌ها می‌توان به اصل هامیلتون¹ و نیز معادلات لانگرانژ اشاره نمود.

دو پارامتر سختی خمشی و پیچشی جسم به وسیله دو فنر با ثابت‌های K_w و K_θ مدل می‌شوند. مدل مذکور دارای دو درجه آزادی می‌باشد و قابلیت حرکت جانبی² و پیچشی³ را دارا می‌باشد. حرکت جانبی با w و حرکت پیچشی با θ بیان شده است.

براساس معادلات لانگرانژ می‌توان گفت [14]:

$$\frac{d}{dt} \left(\frac{\partial T}{\partial \dot{q}_i} \right) - \frac{\partial T}{\partial q_i} + \frac{\partial D}{\partial \dot{q}_i} + \frac{\partial V}{\partial q_i} = Q_i \quad (1)$$

در رابطه (1) q_i معرف امین مختصه تعیین یافته است و T, D, U به ترتیب بیانگر انرژی پتانسیل، تابع افت و انرژی جنبشی سیستم هستند. همچنین Q_i معرف نیروهای تعیین یافته موجود در مساله مذکور است. در مساله حاضر مختصات تعیین یافته با توجه به درجات آزادی تعیین شده به شکل رابطه (2) قابل بیان هستند:

$$q_1 = w, \quad q_2 = \theta \quad (2)$$

ملکیان با صرف نظر از انرژی میرایی سازه و جایگذاری انرژی پتانسیل و جنبشی و نیروهای تعیین یافته مناسب، در رابطه (1) و با در نظر گرفتن نیروی سختی سازه‌ای به صورت معادله‌ای حاوی ترم‌های غیرخطی مرتبه سه، معادلات دیفرانسیل حاکم بر حرکت بالولاره نمایش داده در "شکل 1" را بیان

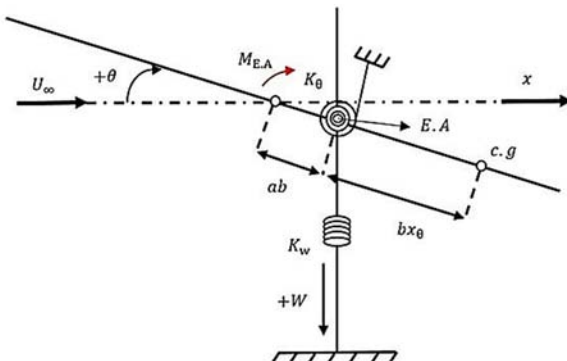


Fig. 1 Schematic of airfoil based on mass-spring model

شکل 1 نمایی شماتیک از مقطع بالولاره براساس مدل جرم و فنر

¹ Hamilton Principle

² Heaving

³ Hitching

نخست باستفاده از روابط و گنر، نیروی برآ و گشتاور پیچشی به صورتی بیان می‌شود که [15]:

$$\begin{aligned} L(t) &= \pi\rho b^2(\ddot{w} - ab\ddot{\theta} + U\dot{\theta}) \\ &+ 2\pi\rho Ub\left(w(0) + U\theta(0) + b\left(\frac{1}{2} - a\right)\dot{\theta}(0)\right)\varphi(t) \\ &+ 2\pi\rho Ub\int_0^t \varphi(t-\sigma)\left[\ddot{w}(0) + b\left(\frac{1}{2} - a\right)\ddot{\theta} + U\dot{\theta}\right]d\sigma \end{aligned} \quad (4\text{-الف})$$

$$\begin{aligned} M_{e.a}(t) &= \pi\rho b^3\left[a\ddot{w} - b\left(\frac{1}{8} + a^2\right)\ddot{\theta} - U\left(\frac{1}{2} - a\right)\dot{\theta}\right] \\ &+ 2\pi\rho Ub^2\left(\frac{1}{2} + a\right)\left[\dot{w}(0) + U\theta(0) + b\left(\frac{1}{2} - a\right)\dot{\theta}(0)\right]\varphi(t) \\ &+ 2\pi\rho Ub^2\left(\frac{1}{2} + a\right)\int_0^t \varphi(t-\sigma)\left[\dot{w}(0) + b\left(\frac{1}{2} - a\right)\dot{\theta} + U\dot{\theta}\right]d\sigma \end{aligned} \quad (4\text{-ب})$$

در روابط (4-الف) و (4-ب)، ρ چگالی جریان هوا، b نصف طول وتر مقطع، U سرعت جریان هوا و a فاصله بی بعد شده است که بیانگر فاصله مرکز الاستیک تا وسط وتر مقطع بال است. (t) هم بیانگر تابع و گنر است. این تابع توسط افراد مختلفی و به صورت تقریبی ارائه شده است. با به کارگیری تقریب آرتی جزء برای تابع و گنر [16]:

$$\begin{aligned} \varphi(t) &= 1 - c_1 e^{-\varepsilon_1 t} - c_2 e^{-\varepsilon_2 t}, \varepsilon_1 = 0.0455 \frac{U}{b} \\ \varepsilon_2 &= 0.3 \frac{U}{b}, c_1 = 0.165, c_2 = 0.335 \end{aligned} \quad (5)$$

و استفاده از قاعده انTEGRالگیری جزء به جزء و سادهسازی مناسب، رابطه زاویه حمله براساس روابط (4-الف) و (4-ب) و برمبانی درجات آزادی (جانبی خمی عمودی و زاویه پیچشی)، معروفی می‌شود:

$$\begin{aligned} \alpha_{wagner} &= \frac{b[\ddot{w}(t) - ab\ddot{\theta}(t) + U\dot{\theta}(t)]}{2U^2} \\ &- \frac{[w(0) + b\left(\frac{1}{2} - a\right)\theta(0)]\dot{\varphi}(t)}{U} + \frac{b\left(\frac{1}{2} - a\right)\varphi(0)\dot{\theta}(t)}{U} \\ &+ \frac{\varphi(0)\dot{w}(t)}{U} + \frac{\dot{\varphi}(0)w(t)}{U} + \frac{[U\varphi(0) + b\left(\frac{1}{2} - a\right)\dot{\varphi}(0)]\theta(t)}{U} \\ &- \frac{1}{U}\left(\lambda_{w1}e^{-\varepsilon_1 t}\int_0^t w(\sigma)e^{\varepsilon_1 \sigma}d\sigma + \lambda_{w2}e^{-\varepsilon_2 t}\int_0^t w(\sigma)e^{\varepsilon_2 \sigma}d\sigma\right) \\ &+ \frac{1}{U}\left(\lambda_{\theta 1}e^{-\varepsilon_1 t}\int_0^t \theta(\sigma)e^{\varepsilon_1 \sigma}d\sigma + \lambda_{\theta 2}e^{-\varepsilon_2 t}\int_0^t \theta(\sigma)e^{\varepsilon_2 \sigma}d\sigma\right) \end{aligned} \quad (6)$$

که در این رابطه:

$$\lambda_{wi} = c_i \varepsilon_i^2, \lambda_{\theta i} = c_i \varepsilon_i [U - \varepsilon_i b\left(\frac{1}{2} - a\right)], i = 1, 2 \quad (7)$$

و ε_i در رابطه (7) همان مقادیر بیان شده در رابطه (5) هستند. شایان ذکر است زاویه حمله معرفی شده در رابطه (6)، از روابط و گنر (وابط 4-الف) و (4-ب) که ماهیتی خطی و ناپایای دارد استنتاج شده است. این زاویه حمله شامل درجات آزادی، مشتقات مرتبه اول و دوم و ترم‌های انتگرالی درجات آزادی است. در گام بعدی به مدل سازی نمودار $C_L - \alpha$ و استخراج رابطه حاکم بر آن پرداخته می‌شود. برای این منظور با به کارگیری زیربنیانیک خطی ناپایای نوار محدود و گنر با تقریب جونز در محدوده رژیم آبیودینامیک خودش مذکور خواهد بود. هرچه فرکانس نوسانات سیستم آبروالاستیک (بال) به همراه جریان پیرامون آن) کمتر باشد این حباب کوچکتر و نمودار $C_L - \alpha$ در حالت واماندگی دینامیکی به نمودار متناظر آن در واماندگی استاتیکی نزدیکتر می‌شود. از طرفی تحت شرایطی، تغییرات ناحیه خطی نمودار مذکور در هر دو حالت واماندگی دینامیکی و استاتیکی می‌تواند تفاوت چندانی نداشته باشد. از جمله مدل‌هایی که برای واماندگی دینامیکی استفاده می‌شود مدل بوئینگ- ورتل است.

به طور خلاصه برای شبیه‌سازی آبیودینامیک غیرخطی استاتیکی استال ناشی از جدایش جریان و مورد استفاده در این مقاله، ابتدا با تلفیق الگوی آبیودینامیک خطی ناپایای نوار محدود و گنر با تقریب جونز در محدوده رژیم آبیودینامیک خودش مذکور خواهد شده، پرداخته می‌شود و در ادامه به بیان استخراج معادله‌ای برای شبیه‌سازی منحنی ضربی نیروی برآ برحسب زاویه حمله و گنر از آن نام برده شده، پرداخته می‌شود و در ادامه به بیان استخراج پرداخته شده و بیان می‌گردد که معادله درجه سه می‌تواند رفتار مذکور را در زوایای حمله مثبت و منفی بخصوص در محل واماندگی استاتیکی، به خوبی پیش‌بینی نماید. در نهایت ضربی نیروی برآ براساس زاویه حمله و گنر استخراج و برای تلفیق با معادلات سازه جهت تشکیل معادلات آبروالاستیکی مهیا می‌گردد.

$$\begin{aligned} -\rho U^2 b^2 \left(\frac{1}{2} + a \right) C_L \\ + \pi \rho b^3 \left(\frac{1}{2} \ddot{w} - \frac{1}{2} b \left(a - \frac{1}{4} \right) \ddot{\theta} + U \dot{\theta} \right) = 0 \end{aligned} \quad (11-\text{ب})$$

با جایگذاری معادله ضریب برآ-زاویه حمله استاتیکی از رابطه (8) در روابط (11-الف) و (11-ب)، بسط و مرتبسازی جملات حاصل، به یک دستگاه معادله دیفرانسیلی-انتگرالی غیرخطی دست ترم‌های خواهیم یافت که وجود ترم‌های انتگرالی در آن از یک سو وجود ترم‌های غیرخطی از درجه‌ی دوم و سوم از سوی دیگر، موجب پیچیده شدن معادلات آبروالاستیک استخراج شده و دشوار شدن حل آن‌ها می‌گردد. در مقاله حاضر با استفاده از روش تاریخچه زمانی انتگرال [18] به حل معادلات آبروالاستیسیته مذکور پرداخته و نشان داده می‌شود که روش مذکور تطابق خوبی با روش‌های معمول مانند فضای حالت دارد. شمس و همکاران کارآیی این روش را برای حل معادلات خطی و غیرخطی آبروالاستیسیته حاکم بر بال نشان دادند [18]. در این روش بدون نیاز به افزایش متغیرهای حالت آبرودینامیکی، با ذخیره‌سازی تاریخچه عبارات انتگرالی به عنوان یک متغیر ثابت در هر گام زمانی (که این متغیر مفروض از اطلاعات گام زمانی قبلی مستقیماً محاسبه و در گام فعلی مورد استفاده قرار می‌گیرد)، معادلات حرکت غیرخطی باکمک یک روش انتگرال‌گیری عددی نظیر روش آدامز-گی بر در هر گام زمانی حل می‌شوند.

3- نتایج و اعتبارسنجی

3-1-اعتبارسنجی

به منظور بررسی صحت معادلات آبروالاستیک استخراج شده با مدل آبرودینامیکی جدید ارائه شده و همچنین بررسی میزان دقت روش تاریخچه زمانی به کاربرده شده در حل معادلات مذکور، در ادامه به بررسی نتایج حاصل از بررسی رفتار آبروالاستیک مقطعی یک بالواله با مشخصات معین با تئوری‌های مختلف، پرداخته می‌شود و نتایج حاصل با نتایج موجود در مراجع [13] و [14] مقایسه می‌گردد. در مرجع [14] برای حل معادلات آبروالاستیک ابتدا روش‌هایی برای حذف ترم‌های انتگرالی موجود در معادلات بیان شده و در ادامه با به کارگیری روش فضای حالت و استفاده از روش عددی رانگ-کوتای مرتبه چهار به حل معادلات نهایی پرداخته شده است. در مقایسه نتایج تحقیق حاضر با نتایج مرجع مذکور صحت موارد زیر اثبات می‌شود:

1) صحت معادلات استخراج شده با معادلات موجود برای مقطع دو بعدی مذکور، با ارزیابی معادلات آبروالاستیک در محدوده قبل و یا بعد از وقوع فلاتر

2) ارزیابی میزان دقت روش تاریخچه زمانی انتگرال در حل عددی معادلات آبروالاستیک در مقایسه با روش فضای حالت

لازم به بیان است جهت سهولت در حل معادلات آبروالاستیک موجود در روابط (11-الف) و (11-ب)، ابتدا معادلات بی بعد گردیده و سپس به حل آن‌ها پرداخته شده است. پارامترهای بی بعد شده مورد استفاده عبارتند از:

$$\begin{aligned} \omega_\theta &= \left(\frac{K_\theta}{I_\alpha} \right)^{1/2} & \tau &= \frac{U t}{b} & \zeta &= \frac{w}{b} & \mu &= \frac{m}{\pi \rho b^2} \\ \omega_w &= \left(\frac{K_w}{m} \right)^{1/2} & \sigma &= \frac{\omega_w}{\omega_\theta} & r^2 &= \frac{I_a}{mb^2} \end{aligned} \quad (12)$$

مشخصات بالواله در نظر گرفته شده در مرجع [14] مطابق با مشخصات بیان شده در جدول 1 است. شرایط اولیه بی بعد شده حاکم بر مساله نیز متناسب با جدول 2 است. نتایج حاصل از مقایسه حل معادلات آبروالاستیک بیان شده در این مقاله با مرجع [14] برای قبل از نقطه فلاتر مطابق با "شکل

رابطه‌ای که برای $\alpha - C_L$ انتخاب می‌گردد باید به گونه‌ای باشد که بتواند علاوه بر این که بخش خطی داده‌های هر یک از بالوالرهای را پوشش دهد، بخش غیرخطی این منحنی را هم تا حدودی به خوبی پیش‌بینی نماید. ضریب نیروی برآ در حالت استاتیکی با C_{L_s} نشان داده می‌شود که اندیس S در این رابطه و روابط بعد نشان دهنده حالت استاتیکی است. با بررسی داده‌های تجربی برای منحنی $\alpha - C_L$ و عبور منحنی‌های متفاوت از این داده‌ها، مشاهده شد از بین تعداد زیادی منحنی عبوری از داده‌های مذکور، معادله درجه سه یکی از گزینه‌های مناسب برای مدل‌سازی نمودار $\alpha - C_L$ بخصوص در محل واماندگی، می‌تواند در نظر گرفته شود. بنابراین برای بیان ارتباط میان زاویه‌ی حمله استاتیکی و ضریب برآ در یک مقطع دو بعدی می‌توان از یک رابطه درجه سه استفاده نمود:

$$C_{L_s} = \vartheta + \xi \alpha_s(t) + \lambda \alpha_s(t)^2 + \mu \alpha_s(t)^3 \quad (8)$$

در رابطه (8)، α_s زاویه‌ی حمله استاتیکی جریان آزاد است که با گذشت زمان تغییر می‌کند، C_{L_s} ضریب نیروی برآ در حالت استاتیکی در هر زاویه و سایر پارامترهای موجود در این رابطه بیانگر ضرایب معادله درجه سه هستند. با محاسبه ضرایب زاویه‌ی حمله استاتیکی در رابطه (8) با استفاده از مشخصات هر بالواله، ضرایب معادله درجه سه قابل بیان است:

$$\lambda = -\frac{3}{2} \left(\frac{C_{L_\alpha} \alpha_s(\max) + 2C_{L_0} - 2C_{L_s(\max)}}{\alpha_s^3(\max)} \right) \alpha_s(\max) - \frac{C_{L_\alpha}}{2\alpha_s(\max)} \quad (8)$$

$$\vartheta = C_{L_0}, \xi = C_{L_\alpha}, \mu = \frac{C_{L_\alpha} \alpha_s(\max) + 2C_{L_0} - 2C_{L_s(\max)}}{\alpha_s^3(\max)} \quad (9)$$

که C_{L_α} شب منحنی ضریب برآ-زاویه‌ی حمله و C_{L_0} مقدار ضریب برآ در محل زاویه‌ی حمله صفر هستند. پارامترهای $C_{L_s(\max)}$ و زاویه‌ی حمله متناسب با مقدار ترتیب، مقدار ضریب نیروی برآی ماکزیمم و زاویه‌ی حمله متناسب با مقدار این ضریب برآ هستند. در ادامه با قرار دادن زاویه‌ی حمله α_{wagner} بدست آمده از معادله (6) در زاویه‌ی حمله $\alpha(t)$ در رابطه (8) و بسط جملات آن، رابطه ضریب برآی به دست آمده برحسب زاویه‌ی حمله استخراجی در گام قبل، قابل بیان است. این رابطه شامل درجات آزادی، مشتقات درجات آزادی، ترم‌های انتگرالی و جملات غیرخطی پیچیده‌ای از عبارات مذکور است که موجب گستردگی شدن و پیچیده شدن رابطه ضریب برآ می‌گردد.

2- معادلات حاکم بر آبروالاستیسیته

برای استخراج معادلات آبروالاستیسیته حاکم بر مساله مذکور، ابتدا معادلات نیروی برآ و ممان آبرودینامیکی به شکل زیر در نظر گرفته می‌شود [15]:

$$L = \rho U^2 b C_L \quad (10-\text{الف})$$

$$\begin{aligned} M_{E,A} &= \rho U^2 b^2 \left(\frac{1}{2} + a \right) C_L \\ -\pi \rho b^3 \left(\frac{1}{2} \ddot{w} - \frac{1}{2} b \left(a - \frac{1}{4} \right) \ddot{\theta} + U \dot{\theta} \right) & \end{aligned} \quad (10-\text{ب})$$

با جایگذاری روابط (10-الف) و (10-ب)، به ترتیب در فرمول‌های (3-الف) و (3-ب)، معادلات آبروالاستیسیته حاکم بر یک مقطع دو بعدی (بالواله)، با احتساب دو درجه‌ی آزادی برای تغییر مکان‌های آن و با در نظر گرفتن جهات مثبت تعیین شده در "شکل 1"، قابل بیان است:

$$\begin{aligned} m \ddot{w} + S_\alpha \ddot{\theta} + K_w w + K_{w_2} w^2 + K_{w_3} w^3 + K_\theta \theta + K_{\theta_2} \theta^2 \\ + K_{\theta_3} \theta^3 + K_{w\theta} w\theta + K_{w2\theta} w^2\theta + K_{w\theta2} w\theta^2 + \rho U^2 b C_L = 0 \end{aligned} \quad (11-\text{الف})$$

$$\begin{aligned} S_\alpha \ddot{w} + I_\alpha \ddot{\theta} + K_\theta \theta + K_{\theta_2} \theta^2 + K_{\theta_3} \theta^3 + K_w w + K_{w_2} w^2 \\ + K_{w_3} w^3 + K_{w\theta} w\theta + K_{w2\theta} w^2\theta + K_{w\theta2} w\theta^2 \end{aligned}$$

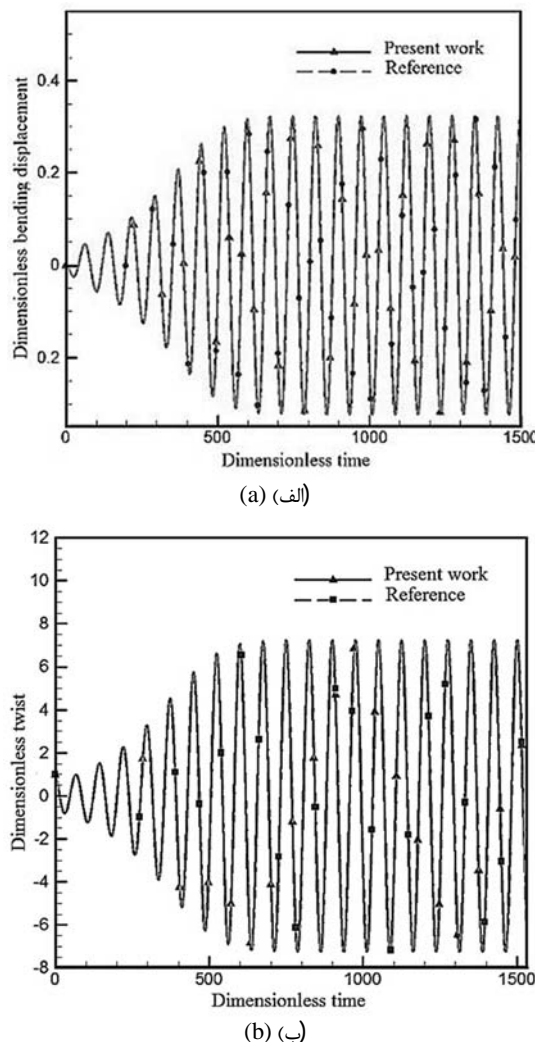


Fig. 3 Comparison of the aeroelastic behavior of the airfoil (a) Dimensionless vertical displacement .vs. dimensionless time (b) Variation of torsional angle .vs. dimensionless time, in velocity $U = 1.01 U_{\text{flutter}}$ based on [14]

شکل ۳ مقایسه رفتار زمانی آیروالاستیک مقطع دو بعدی (الف) تغییر مکان عمودی بی بعد در مقابل زمان بی بعد (ب) تغییر زاویه پیچشی در مقابل زمان بی بعد، در سرعت $U = 1.01 U_{\text{flutter}}$ با مرجع [14]

در حالتی که تنها رفتار غیرخطی سازه در نظر گرفته می شود، تا حدود زیادی بر نتایج مرجع منطبق است. نتایج مذکور همچنین دقت روش تاریخچه ای زمانی به کار رفته جهت حل معادلات را نیز نشان می دهد. بررسی سرعت فلاتر هم حاکی از صحت این مطلب است. مقایسه سرعت فلاتر حاصل از حل معادلات مذکور با شرایط اولیه بیان شده در جدول ۲، سرعت 4.0055 m/s را برای مساله نشان می دهد که بسیار نزدیک به سرعت فلاتر ارائه شده در مرجع یعنی 4.006 m/s است. در ادامه و برای ارزیابی بهتر الگوی آیرودینامیکی غیرخطی معرفی شده برای واماندگی، در تحقیق حاضر و بررسی دقت پاسخ های ارائه شده حاصل از این جریان در پیش بینی رفتار آیروالاستیک حاکم بر سیستم، به مقایسه نتایج حاصل از کار حاضر و نتایج تجربی موجود در مرجع [13] پرداخته می شود. این مقایسه شامل بررسی رفتار نوسانی سیستم مذکور در شرایط بعد از سرعت ناپایداری و بررسی نحوه تغییرات سرعت فلاتر با تغییر مقدار سختی خمشی است.

بالواره مورد استفاده در مرجع مذکور بالواره NACA0012 است. سایر

" ۲ و برای بعد از نقطه فلاتر مناسب با "شکل ۳" است. با مقایسه نتایج به دست آمده از کد برنامه‌ی تهیه شده با نتایج مرجع [14] در "شکل ۲" و "شکل ۳"، مشاهده می شود که جواب‌های حاصل از معادلات آیروالاستیکی

جدول ۱ اطلاعات هندسی و سازه‌ای نمونه بالواره [14]

Table 1 Geometrical and Structural properties for airfoil [14]

نام	واحد	نام	نوع پارامتر
0.32	m	c	طول وتر بالواره
9.847	kg	m	جرم بالواره
0.063	kgm^2	$I_{\text{e.a}}$	ممان اینرسی حول محور الاستیک
0.5	-	x_θ	فاصله بی بعد مرکز جرم از مرکز الاستیک
0.25	-	a	فاصله بی بعد مرکز الاستیک از وسط وتر
1	Nm/rad	K_θ	ضریب خطی سختی پیچشی
6.25	N/m	K_w	ضریب خطی سختی خمشی
3	Nm/rad ³	$K_{\theta 3}$	ضریب غیرخطی سختی پیچشی
0	N/m ³	K_{w3}	ضریب غیرخطی سختی خمشی
1.225	kg/m ³	ρ	چگالی هوای ارتفاع پروازی

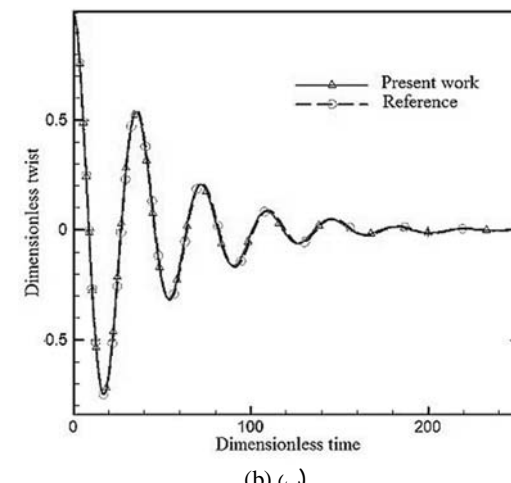
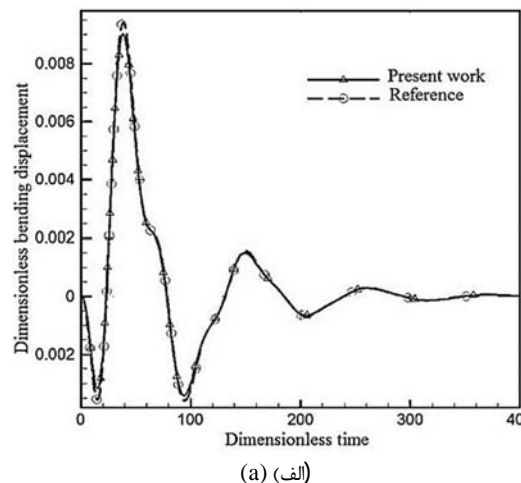


Fig. 2 Comparison of the aeroelastic behavior of the airfoil (a) Dimensionless vertical displacement .vs. dimensionless time (b) Variation of torsional angle .vs. dimensionless time, in velocity $U = 0.8 U_{\text{flutter}}$ based on [14]

شکل ۲ مقایسه رفتار زمانی آیروالاستیک مقطع دو بعدی (الف) تغییر مکان عمودی بی بعد در مقابل زمان بی بعد (ب) تغییر زاویه پیچشی در مقابل زمان بی بعد، در سرعت $U = 0.8 U_{\text{flutter}}$ با مرجع [14]

بررسی نتایج حاصل از مقایسه رفتار زمانی آیروالاستیک تحقیق حاضر با نتایج تجربی به دست آمده از مرجع [13]، در "شکل 5" و "شکل 6" نیز نشان از آن دارد که روش استفاده شده در تحقیق حاضر دقت قابل قبولی را در پیش‌بینی رفتار تغییر مکان‌های خمشی و پیچشی و فرکانس سیستم آیروالاستیک ارائه می‌دهد. اگرچه در مقایسه دامنه نوسانات، اختلافاتی مشاهده می‌شود، اما بررسی فرکانس حاصل از نتایج هر دو روش نشان از اتفاقاً قابل قبول روش مذکور در مدل‌سازی واماندگی استاتیکی در مقاله حاضر با نتایج تجربی دارد.

3-2- بررسی رفتار آیروالاستیک غیرخطی بالواره با در نظر گرفتن شرایط واماندگی استاتیکی در جریان ناپایا

در این بخش رفتار آیروالاستیک غیرخطی یک بالواره در جریان تراکم‌ناپذیر و در شرایطی که معادلات آیرودینامیک قابلیت شبیه‌سازی شرایط واماندگی استاتیکی را با به‌کارگیری معادله درجه سه دارا هستند، بررسی و مقایسه می‌شود. این بررسی و مقایسه شامل موارد زیر می‌باشد.

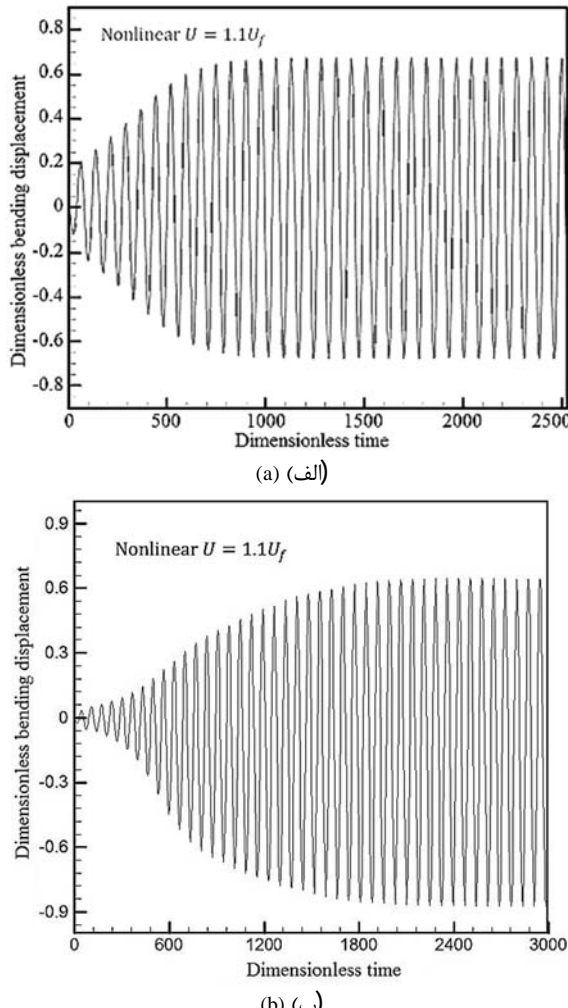


Fig. 5 Comparison of the aeroelastic behavior of the airfoil (Dimensionless vertical displacement .vs. dimensionless time) in velocity $U = 1.1 U_{\text{flutter}}$, (a) Reference [13] (b) Present study

شکل 5 مقایسه رفتار زمانی آیروالاستیک مقطع دو بعدی (تغییر مکان عمودی بی بعد در مقابل زمان بی بعد) در سرعت $U = 1.1 U_{\text{flutter}}$. (الف) مرجع [13] [ب) کار حاضر

مشخصات هندسی و شرایط پروازی حاکم بر مساله، در جدول 3 بیان شده است. همان‌طور که در "شکل 4" مشاهده می‌شود در سختی‌های خمشی کوچکتر (حدود 4000 N/m)، نتایج تئوری کلاسیک داری اختلاف بسیار زیادی با نتایج تجربی است (حدود 34 درصد)، این در حالی است که مدل استفاده شده در تحقیق حاضر پاسخ نزدیکتری به نتایج تجربی ارائه می‌کند (اختلاف حداکثر 17 درصد). با افزایش سختی نتایج به دست آمده از تئوری کلاسیک به نتایج تجربی نزدیکتر می‌گردد ولی همچنان اختلاف ناشی از تئوری ارائه شده در تحقیق حاضر و نتایج تجربی دارای مقادیر نسبتاً کمتری در مقایسه با میزان اختلاف نتایج تجربی با نتایج تئوری کلاسیک است.

جدول 2 شرایط اولیه اعمال شده (به صورت بی بعد) [14]

Table 2 Initial conditions (non-dimensional) [14]

نوع پارامتر	مقدار	نشانه
تغییر مکان خمشی اولیه	ζ_0	0
تغییر زاویه پیچش اولیه اعمال شده	θ_0	1
سرعت تغییر مکان خمشی اولیه	$\dot{\zeta}_0$	0
سرعت تغییر زاویه پیچش	$\dot{\theta}_0$	0

جدول 3 اطلاعات هندسی و سازه‌ای نمونه بالواره [13]

Table 3 Geometrical and Structural properties for airfoil [13]

نوع پارامتر	مقدار	واحد	نشانه
طول وتر بالواره	0.25	m	c
جرم بالواره	4.8	kg	m
ممان اینرسی حول محور الاستیک	0.0069	kgm^2	$I_{\text{e.a}}$
فاصله بی بعد مرکز جرم از مرکز الاستیک	0.4	-	x_θ
فاصله مرکز الاستیک از وتر	81.67	mm	a
ضریب خطی سختی پیچشی	42	Nm/rad	K_θ
ضریب خطی سختی خمشی	4000	N/m	K_w
ضریب غیرخطی سختی پیچشی	0	Nm/rad ³	$K_{\theta 3}$
ضریب غیرخطی سختی خمشی	100	N/m ³	K_{w3}
چگالی هوا	1	kg/m ³	ρ

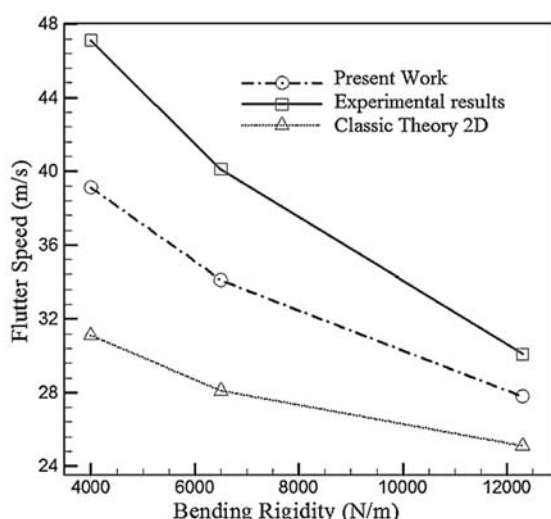


Fig. 4 Comparison of the variation of flutter speed .vs. bending rigidity in present study & [13]

شکل 4 مقایسه نحوه تغییرات سرعت فلتر با سختی خمشی در کار حاضر و مرجع [13]

جدول ۵ اطلاعات هندسی و سازه‌ای نمونه بالواره

نام	واحد	نشانه	نوع پارامتر
0.3	m	c	طول وتر بالواره
9.847	kg	m	جرم بالواره
0.063	kgm^2	$I_{\text{e.a}}$	ممان انیزی حول محور الاستیک
0.25	-	x_θ	فاصله بی بعد مرکز جرم از مرکز الاستیک
0.25	-	a	فاصله بی بعد مرکز الاستیک از وسط وتر
1	Nm/rad	K_θ	ضریب خطی سختی پیچشی
5	N/m	K_w	ضریب خطی سختی خشی
3.5	Nm/rad ³	$K_{\theta 3}$	ضریب غیرخطی سختی پیچشی
1	N/m ³	K_{w3}	ضریب غیرخطی سختی خشمی
1.225	kg/m ³	ρ	چگالی هوا در ارتفاع پروازی

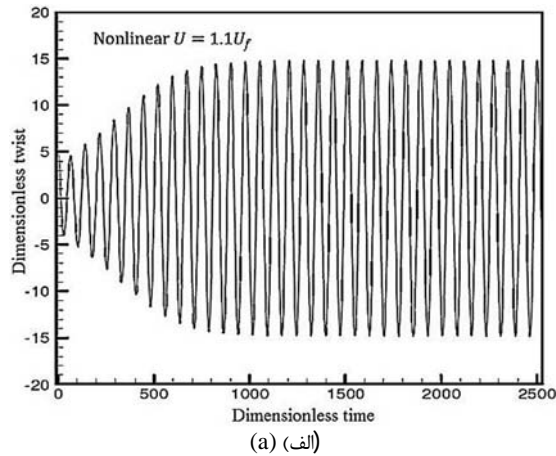
جدول ۶ شرایط اولیه مفروض (به صورت بی بعد)

Table 6 Assumed the initial conditions (nondimensional)

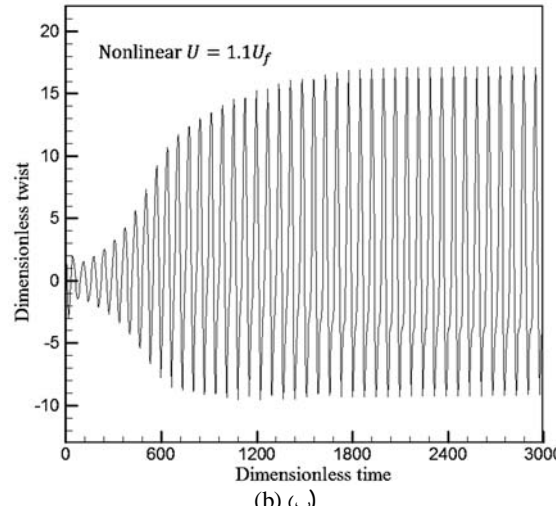
نام	نشانه	نوع پارامتر
0	ζ_0	تغییر مکان خشی اولیه
1.5	θ_0	تغییر زاویه پیچش اولیه اعمال شده
0	$\dot{\zeta}_0$	سرعت تغییر مکان خشمی اولیه
0	$\dot{\theta}_0$	سرعت تغییر زاویه پیچش

فلاتر برای بالواره با مشخصات مذکور و در جریان ناپایا، $U = 2.19 \text{ m/s}$ محاسبه شده است.

در بررسی نحوه تغییرات مقدار ضریب نیروی برآ با زاویه حمله (زاویه حمله و گنر) در یک بالواره و در جریان ناپایا همان‌طور که بیان گردید مطابق با رابطه (8)، معادله حاکم بر تغییرات ضریب برآ با زاویه حمله به شکل یک معادله درجه سه است که مقدار این زاویه حمله با تغییر مقدار درجات آزادی موجود در مساله و مشتقات آن در حال تغییر است. با توجه به ضرایب معادله مذکور این تغییرات به مشخصات بالواره در نظر گرفته شده وابسته بوده و برای هر بالواره منحصر به فرد است. با در نظر گرفتن شرایط هندسی بیان شده در این بخش برای مقاطع دوبعدی، نمودار ضریب نیروی برآ بر حسب زاویه حمله استاتیکی مطابق با "شکل 7" حاصل می‌شود. محور افقی بیانگر تغییرات زاویه حمله (بر حسب درجه) و محور عمودی بیانگر تغییرات ضریب برای استاتیکی در هر زاویه است. منحنی خطچین شرایطی را نشان می‌دهد که در آن سازه رفتار آیروالاستیک خطي دارا است اما از آیروبدینامیک خطي و گنر در آن استفاده شده است. همان‌طور که از شکل مشخص است شبیه این نمودار همواره ثابت و برابر 2π است. نمودار توابع با در نظر گرفتن شرایط واماندگی استاتیکی به دست آمده است و همان‌طور که مشاهده می‌شود به خوبی توانسته رفتار آیروبدینامیکی حاکم را شبیه‌سازی نماید. در گام بعد به بررسی و مقایسه رفتار آیروالاستیک خطی و غیرخطی تغییر مکان‌های خشمی و پیچشی در طی زمان در بالواره، در شرایط قبل و بعد وقوع پدیده فلاتر پرداخته می‌شود. همان‌طور که در "شکل 8" مشاهده می‌شود، در نظر گرفتن شرایط واماندگی استاتیکی موجب استهلاک سریع تر رفتار نوسانی سیستم در مقایسه با حالت‌هایی که سیستم به صورت خطی در نظر گرفته شده یا تنها رفتار غیرخطی سازه مورد بررسی قرار گرفته، می‌گردد. همچنین با مقایسه نتایج معادلات آیروالاستیک غیرخطی در شرایط واماندگی استاتیکی و آیروبدینامیک خطی در سرعی بالاتر از سرعت ناپایداری، مشاهده می‌شود که



(الف)



(ب)

Fig. 6 Comparison of the aeroelastic behavior of the airfoil (Variation of torsional angle .vs. dimensionless time) in velocity $U = 1.1 U_{\text{flutter}}$, (a) Reference [13] (b) Present study

شکل 6 مقایسه رفتار زمانی آیروالاستیک مقاطع دوبعدی (تغییر زاویه پیچشی در مقابل زمان بی بعد) در سرعت $U = 1.1 U_{\text{flutter}}$ در مرجع [13] (الف) کارحاضر

- بررسی نحوه تغییرات مقدار ضریب نیروی برآ با زاویه حمله (زاویه حمله و گنر) در بالواره با در نظر گرفتن شرایط واماندگی استاتیکی در جریان ناپایا - بررسی و مقایسه رفتار آیروالاستیک بالواره با در نظر گرفتن شرایط واماندگی استاتیکی در جریان ناپایا. مقطع دو بعدی که در این بخش در نظر گرفته شده است، بالواره‌ای با مشخصات بیان شده در جدول 4 است:

مشخصات هندسی و شرایط پروازی مساله‌ی مورد ارزیابی در این قسمت، متناسب با جدول 5 است. سایر ضرایب سختی موجود در روابط (11-الف) و (11-ب) صفر در نظر گرفته شده است. شرایط اولیه بی بعد شده حاکم بر مساله نیز متناسب با جدول 6 است. همچنین لازم به توضیح است سرعت

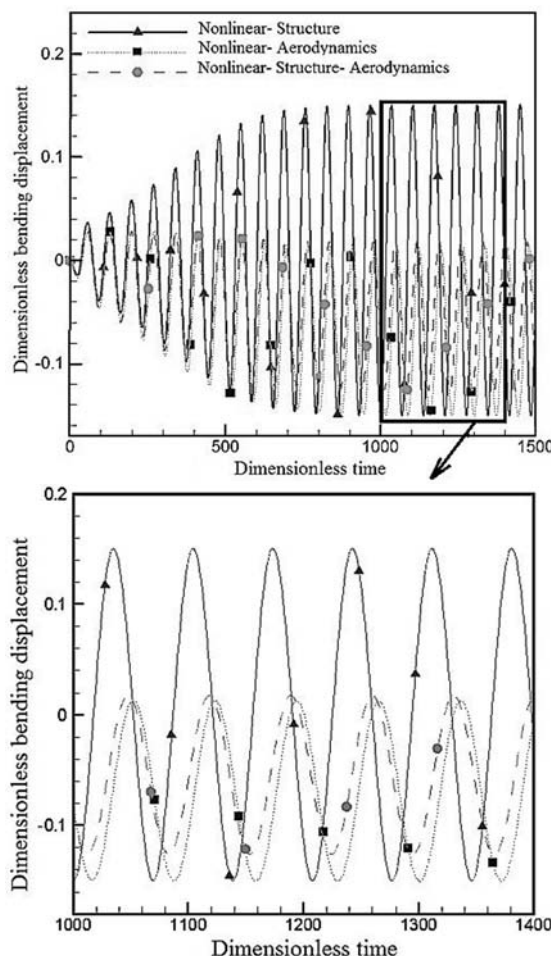
جدول 4 مشخصات آیروبدینامیکی منحنی Cl- α برای بالواره در نظر گرفته شدهTable 4 Aerodynamic characteristics of Cl- α curve for selected airfoil

نام	مقدار	نوع پارامتر
CL_0	0	ضریب برآ در زاویه حمله صفر
$CL_a(\alpha_0)$	2π	شیب منحنی ضریب برآ-زاویه حمله در زاویه حمله صفر
CL_{\max}	1.2	ضریب برآی ماکزیمم
$\alpha_{CL-\max}$	12°	زاویه حمله در ضریب برآی ماکزیمم

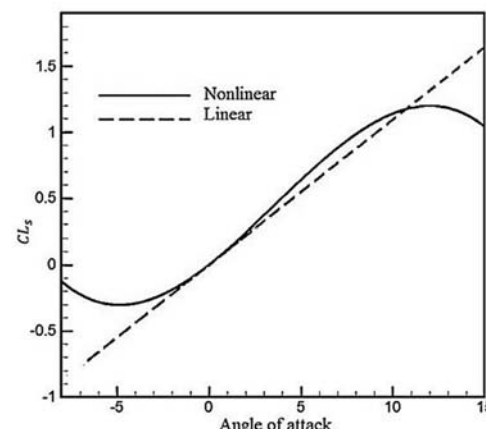
واماندگی استاتیکی دامنه نوسانات را در پدیده نوسانات با دامنه محدود، کاهش می‌دهد (شکل 9 و شکل 10). نتایج مذکور اگر در فضای فاز (مشتق مکانی جابجایی برحسب خود جابجایی) رسم شوند منحنی‌های بسته‌ای مشاهده خواهد شد که بیانگر نوسانات با دامنه محدود است. به منظور نمایش بهتر اثر پدیده واماندگی در کاهش دامنه نوسانات با دامنه محدود، مقایسه فوق در فضای فاز ترسیم و در "شکل 11" نشان داده شده است.

2-3 مقایسه رفتار غیرخطی آبروالاستیک مقطع دوبعدی در جریان شبه‌پایا و ناپایا

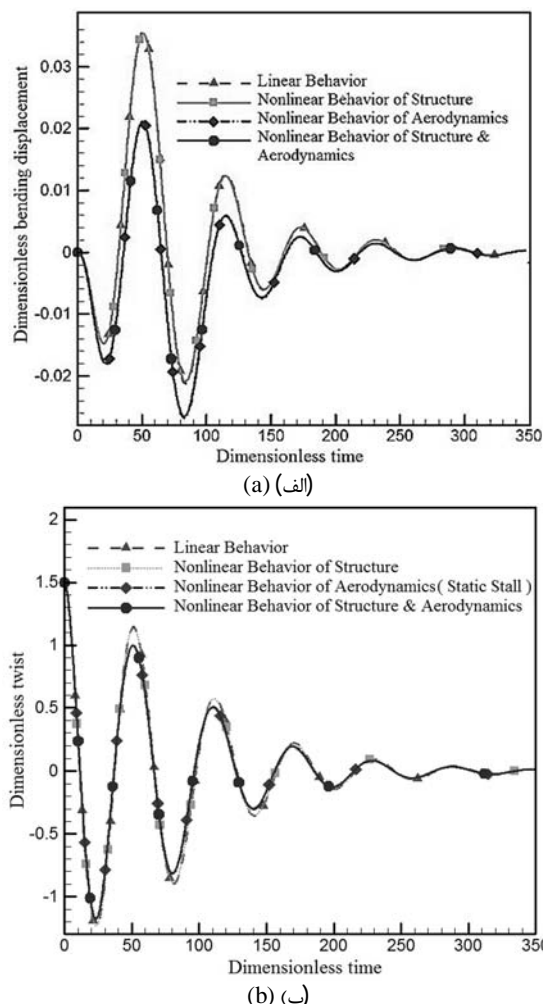
در این بخش به بررسی و مقایسه رفتار آبروالاستیک مقطع دوبعدی در شرایط وجود و عدم وجود شرایط واماندگی استاتیکی در جریان ناپایا و شبه‌پایا و همچنین در نظر گرفتن یا نادیده گرفتن غیرخطی‌های ناشی از سازه پرداخته می‌شود. این مقایسه شامل بررسی سرعت فلاتر و رفتار نوسانی هر یک از درجات آزادی است. مشخصات مادی و هندسی در نظر گرفته شده برای مقطع دو بعدی و شرایط اولیه مطابق با شرایط بیان شده در بخش 4 است. در بررسی سرعت فلاتر و یا سرعت ناپایداری ابتدا از غیرخطی‌های ناشی از هندسه و جریان آبرودينامیک صرف‌نظر شده و درنهایت سرعت فلاتر در هر دو حالت جریان شبه‌پایا و جریان ناپایا محاسبه شده است. در ادامه



شکل 9 مقایسه رفتارهای آبروالاستیک غیرخطی بالواره (غیرمکان خمی بی بعد برحسب زمان بی بعد)، در جریان ناپایا و در سرعتی بعد از سرعت ناپایداری



شکل 7 رفتار نمودار ضریب نیروی برآ - زاویه حمله در جریان‌های خطی و غیرخطی آبرودينامیکی (استاتیک استال) در حالت ناپایا و با در نظر گرفتن رفتار غیرخطی سازه، در سرعت $U=3.3$ m/s



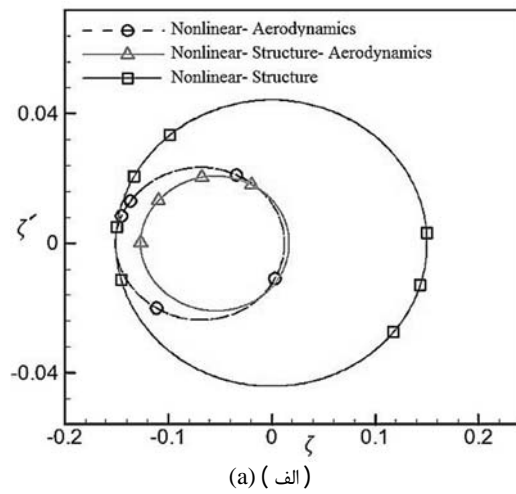
شکل 8 مقایسه رفتار زمانی آبروالاستیک خطی و غیرخطی بالواره در شرایط مختلف سیستم (الف) تغییرمکان عمودی بی بعد در مقابل زمان بی بعد (ب) تغییر زاویه پیچشی در مقابل زمان بی بعد، در سرعتی قبل از سرعت فلاتر

جدول 7 سرعت ناپایداری (متر بر ثانیه) در شرایط آبودینایک و سازه‌ای مختلف

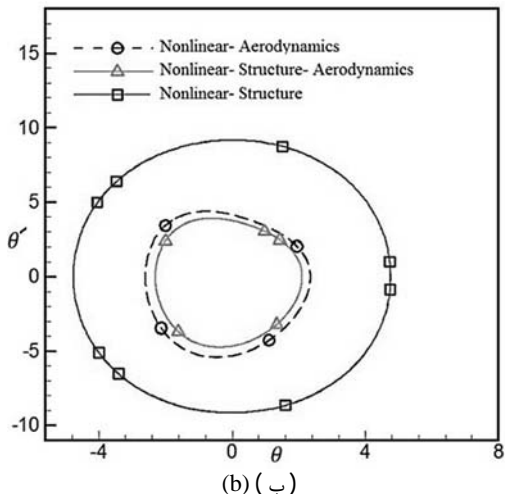
Table 7 Instability speed (m/s) in different aerodynamic and structural conditions

درصد اختلاف	جریان ناپایا	جریان شبه‌پایا	نوع رفتار سیستم آبولاستیک
24.25	3.1989	2.4231	رفتار کاملاً خطي
24.28	3.2021	2.4245	رفتار غیرخطی سازه
23.85	3.2059	2.4410	رفتار غیرخطی آبودیناییک
23.90	3.2099	2.4427	رفتار غیرخطی سازه و آبودیناییک

این مقایسه شامل تغییرات تغییر مکان‌های خمی و پیچشی در شرایط قبل و بعد از سرعت ناپایداری بوده و در تمام بررسی‌ها رفتار غیرخطی سازه با در نظر گرفتن شرایط واماندگی استاتیکی لحاظ می‌شود. نتایج حاصل در سرعت‌های معینی در "شکل 12" و "شکل 13" ترسیم شده است. بررسی "شکل 12" نشان می‌دهد، در شرایطی قبل از سرعت مذکور (متناسب با جریان شبه‌پایا) علارقم رفتار مشابه در هر دو حالت از جریان، سرعت همگرایی پاسخ (شامل جابجایی خمی عمودی و تغییر مکان پیچشی) حاصل در جریان ناپایا بسیار بیشتر از سرعت همگرایی پاسخ در جریان شبه‌پایا است. در بررسی "شکل 13" نیز می‌توان گفت: از آنجایی که سرعت در نظر گرفته شده به‌گونه‌ای انتخاب شده است که در آن بتوان هر دو جریان



(الف)



(ب)

شکل 11 فضای فازی درجهات آزادی بالواره در سرعتی بیش از سرعت ناپایداری و رژیم جریان ناپایا. (الف) تغییر مکان خمی. (ب) تغییر زاویه‌ی پیچش

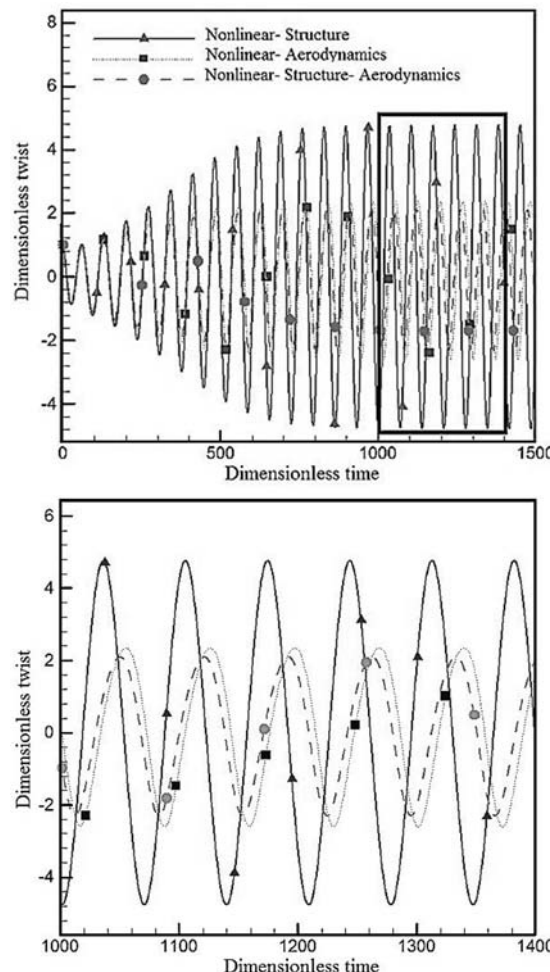


Fig. 10 مقایسه رفتارهای آبولاستیک غیرخطی بالواره (تغییرات زاویه پیچشی در مقابل زمان بی‌بعد)، در جریان ناپایا و در سرعتی بعد از سرعت ناپایداری

تنها با در نظر گرفتن رفتار غیرخطی سازه، سرعت فلاتر مجدداً محاسبه شده است. از آنجایی که دامنه نوسانات بعد از سرعت مذکور همچنان ثابت باقی می‌ماند، لذا بهتر است از واژه‌ی مرز ارتعاشات با دامنه محدود به جای واژه‌ی سرعت فلاتر استفاده شود. در مرحله بعد تها با در نظر گرفتن رفتار غیرخطی از آبودیناییک به واسطه در نظر گرفتن واماندگی استاتیکی جریان، به محاسبه سرعت ناپایداری پرداخته شده است. نتایج حاصل از این بررسی در جدول 7 نشان داده شده است. مشاهدات نشان می‌دهد که در نظر گرفتن شرایط واماندگی استاتیکی در جریان باعث افزایش سرعت فلاتر (با سرعت نوسانات سیکل حدی) در سیستم آبولاستیک در مقایسه با در نظر گرفتن رفتار غیرخطی هندسی در هر دو جریان ناپایا و شبه‌پایا می‌گردد. بررسی نتایج جریان ناپایا و شبه‌پایا نیز نشان می‌دهد استفاده از جریان شبه‌پایا موجب محدود شدن سیکل حدی سیستم آبولاستیک می‌گردد. چرا که سرعت فلاتر در سرعت‌های پایین‌تری گزارش می‌گردد و این در حالی است که از نقطه‌نظر آبولاستیکیه در عمل خلبان قادر به تجربه سرعت‌های بالاتری از سرعت مذکور است. لذا پیشنهاد می‌شود در سرعت‌های زیر صوت و در صورت نظر آبولاستیکیه در عمل خلبان قادر به تجربه سرعت‌های بالاتری از سرعت از شرایط ناپایا استفاده گردد. در ادامه رفتار آبولاستیک غیرخطی مقطع دو بعدی در جریان‌های شبه‌پایا و ناپایا مقایسه می‌گردد.

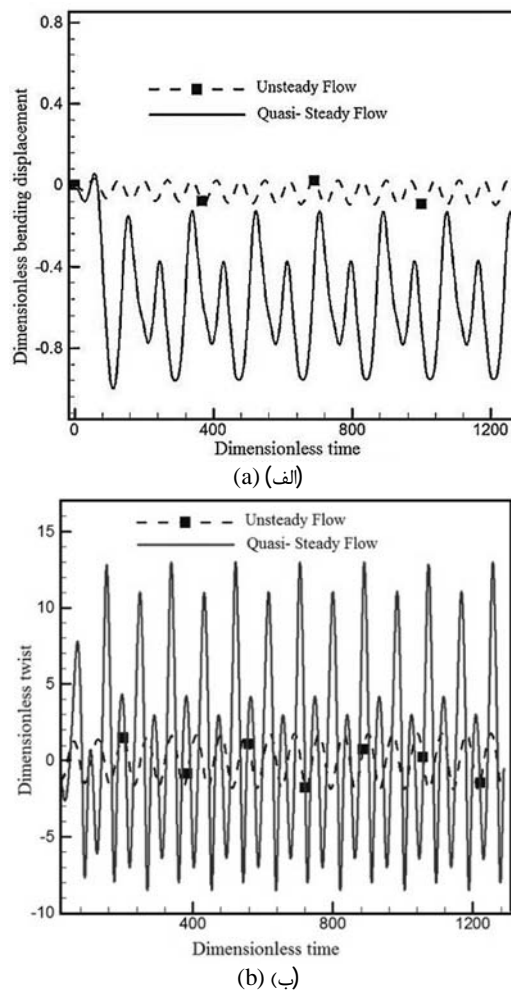


Fig. 13 Compare the nonlinear aeroelastic behavior (Geometric and aerodynamic nonlinearity) of the airfoil (a) Bending displacement (b)

تطابق آنها نشان از صحت معادلات و دقت روش تاریخچه زمانی انگرال در حل معادلات مذکور داشت. در ادامه و با به کارگیری معادلات و روش حل

بیان شده مسائل مختلفی مورد بررسی قرار گرفت. در ابتدا تغییرات ضربی

نیروی برآ با زاویه حمله استاتیکی در جریان‌های خطی و غیرخطی

آیرودینامیکی (استاتیک اس탈 ناشی از جدایش جریان) در حالت ناپایا و با در

نظر گرفتن رفتار غیرخطی سازه، در سرعتی بیشتر از سرعت فلاتر مورد

بررسی قرار گرفت که مشاهده شد در شبیه‌سازی جدایش جریان آیرودینامیکی مورد بحث، تقریب معادله درجه سه، علاوه بر پیش‌بینی مناسب

تغییرات ضربی برای استاتیکی با زاویه حمله در ناحیه خطی، شرایط

واماندگی استاتیکی را نیز به خوبی شبیه‌سازی می‌نماید. این دقت بالای

شبیه‌سازی واماندگی استاتیکی جریان که با تغییر دیدگاه و فلسفه حاکم بر

استخراج معادلات آیروالاستیک به دست آمده است، در مقایسه با مراجع

تقریب زده‌اند، به عنوان یکی از نوآوری‌های این کار قابل ذکر است. در ادامه

به بررسی و مقایسه رفتار زمانی آیروالاستیک خطی و غیرخطی تغییر

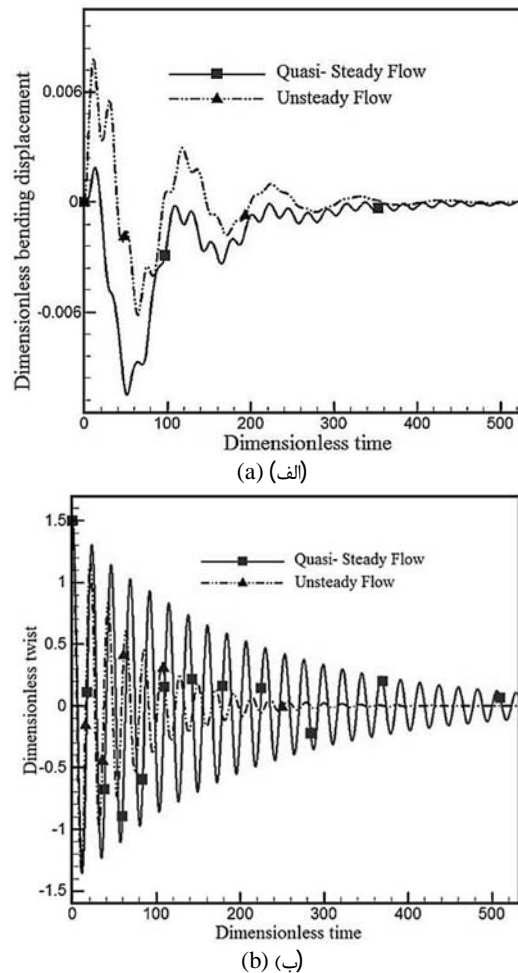


Fig. 12 Compare the nonlinear aeroelastic behavior (Geometric and aerodynamic nonlinearity) of the airfoil (a) Bending displacement (b)

Torsion changes, in quasi and unsteady flows at $U = 2 \text{ m/s}$ شکل 12 مقایسه رفتار آیروالاستیک غیرخطی (هندرسی و آیرودینامیکی) بالواره.

(الف) تغییر مکان خمشی. (ب) تغییر زاویه پیچش، در جریان‌های شبیه‌پایا و ناپایا و

در سرعت $U=2 \text{ m/s}$

را در شرایط بعد از سرعت ناپایداری مشاهده نمود (مبنا جریان ناپایا)، لذا تغییر مکان‌های حاصل از جریان شبیه‌پایا دارای دامنه‌هایی به نسبت بزرگتر از شرایط حاکم بر آن در جریان ناپایا است.

4- نتیجه‌گیری

در این پژوهش با به کارگیری الگوی آیرودینامیک جدیدی براساس تقریب معادله درجه سه برای تغییرات ضربی برآ-زاویه حمله، که این الگو قابلیت شبیه‌سازی واماندگی استاتیکی در حالت جدایش جریان را دارد، به استخراج شکل جدیدی از معادلات آیروالاستیک برای یک بالواره، با در نظر گرفتن دو درجه آزادی خمشی و پیچشی پرداخته شد. در ادامه با به کارگیری

شیوه حل تاریخچه زمانی انتگرال به حل معادلات غیرخطی استخراج شده پرداخته و در نهایت رفتار آیروالاستیک مقطع مذکور در هر دو رژیم جریان ناپایا و شبیه‌پایا بررسی و با یکدیگر مقایسه گردید. در ادامه برای صحت

سنگی معادلات استخراجی و شیوه حل ارائه شده، رفتار آیروالاستیک یک بالواره با دو درجه آزادی با مراجع موجود مقایسه شد. این مقایسه شامل بررسی سرعت فلاتر و همچنین بررسی رفتار زمانی آیروالاستیک بالواره مذکور که شامل تغییرات تغییر مکان عمودی و تغییر زاویه پیچشی در مقابل

علایم یونانی	x_θ	فاصله بی بعد مرکز جرم از مرکز الاستیک
α_s	زاویه‌ی حمله استاتیکی	
θ_0	تغییرمکان پیچشی اولیه (rad)	
ρ	چگالی (kgm^{-3})	

6- مراجع

- [1] S. N. Atluri, *Computational Nonlinear Mechanics in Aerospace Engineering*, pp. 137-150, Atlanta: American Institute of Aeronautics and Astronautics, 1992.
- [2] M. J. Patil, D. H. Hodges, C. E. S. Cesnik, Nonlinear Aeroelastic Analysis of Complete Aircraft in Subsonic Flow, *Journal of Aircraft*, Vol. 37, No. 5, pp. 753-760, 2000.
- [3] S. Preidikman, D. Mook, Time-Domain Simulations of Linear and Nonlinear Aeroelastic Behavior, *Journal of Vibration and Control*, Vol. 6, No. 8, pp. 1135-1175, 2000.
- [4] L. Liu, Y. S. Wong, B. H. K. Lee, Application of the centre manifold theory in non-linear aeroelasticity, *Journal of Sound and Vibration*, Vol. 234, No. 4, pp. 641-659, 2000.
- [5] B. D. Hall, D. T. Mook, A. H. Nayfeh, S. Preidikman, Novel strategy for suppressing the flutter oscillations of aircraft wings, *AIAA Journal*, Vol. 39, No. 10, pp. 1843-1850, 2001.
- [6] M. J. Patil, D. H. Hodges, C. E. S. Cesnik, Limit-Cycle oscillations in high-aspect-ratio wings, *Journal of Fluids and Structures*, Vol. 15, No. 1, pp. 107-132, 2001.
- [7] D. Tang, E. H. Dowell, Experimental and theoretical study on aeroelastic response of high-aspect-ratio wings, *AIAA Journal*, Vol. 39, No. 8, pp. 1430-1441, 2001.
- [8] D. Tang, E. H. Dowell, Experimental and theoretical study of gust response for high-aspect-ratio wing, *AIAA Journal*, Vol. 40, No. 3, pp. 419-429, 2002.
- [9] J. A. Garcia, Numerical Investigation of nonlinear aeroelastic effects on flexible high-aspect-ratio wings, *Journal of Aircraft*, Vol. 42, No. 4, pp. 1025-1036, 2005.
- [10] S. Badiee -Davood, Sh. Shams, Nonlinear aeroelastic behavior of slender wings considering a static stall model based on Wagner function, *Applied Mechanics and Materials*, Vol. 186, No. 9, pp. 297-304, 2012.
- [11] L. Yi, Y. Zhichun, uncertainty quantification in flutter analysis for an airfoil with preloaded freeplay, *Journal of Aircraft*, Vol. 47, No. 4, pp. 1454-1457, 2010.
- [12] S. Irani, H. Sarrafzadeh, M. R. Amoozgar, Bifurcation in a 3-DOF airfoil with cubic structural nonlinearity, *Chinese Journal of Aeronautics*, Vol. 24, No. 3, pp. 265-278, 2011.
- [13] H. Golparvar, S. Irani, Experimental study of an airfoil with two degrees of freedom in the low-subsonic flow and compared with theoretical results, *Aero. Mech. J.*, Vol. 10, No. 3, pp. 61-71, 2013. (in Persian) فارسی
- [14] M. Malekian, *Solve nonlinear equations aeroelastic airfoil in an incompressible flow of sound by derivative method*, MSc Thesis, Department of Aerospace Engineering, Amirkabir University of Technology, 2007. (in Persian) فارسی
- [15] S. Shams, *Investigation of Aeroelastic Behavior of High Aspect Ratio Flexible Composite Wings Undergoing Geometrical Nonlinearity in Incompressible Flow*, PhD thesis, Department of Aerospace Engineering, Amirkabir University of Technology, 2008. (in Persian) فارسی
- [16] R. T. Jones, The unsteady lift of a wing of finite aspect Ratio, *AIAA Journal*, Vol. 32, No. 10, pp. 1430-1441, 1940.
- [17] Search, compare and plot airfoilsm Accessed on 20 July 2015, <http://airfoiltools.com/>.
- [18] S. Shams, M. H. Sadr Lahidjani, H. Haddadpour, Nonlinear aeroelastic response of slender wings based on Wagner function, *Thin-Walled Structures*, Vol. 46, No. 11, pp. 1192-1203, 2008.

مکان‌های خمشی و پیچشی بالواره مذکور، در شرایط قبل و بعد وقوع پدیده ناپایداری/فلاتر پرداخته شد.

نتایج حاصل از این بررسی‌ها نشان داد، در نظر گرفتن غیرخطی سازه‌ای به تنهایی باعث افزایش سرعت ناپایداری می‌شود. همچنین در نظر گرفتن مدل غیرخطی آبروالاستیک ناشی از واماندگی استاتیکی حتی در حالتی که حداقل دامنه نوسانات در محدوده زوایای حمله کوچک باشند نیز به دلیل غیرخطی بودن معادلات آبروالاستیک، باعث افزایش سرعت ناپایداری می‌شود. همچنین می‌توان ادعا نمود که آبروالاستیک غیرخطی استاتیک استال به تنهایی می‌تواند باعث نوسانات با سیکل نوسانی هر یک از مقایسه رفتار آبروالاستیک مقطع دوبعدی در شرایط وجود و عدم وجود شرایط واماندگی استاتیکی در جریان ناپایا و شبیه‌پایا در مقایسه گرفتن یا نادیده گرفتن غیرخطی‌های ناشی از سازه پرداخته شد. این مقایسه شامل بررسی سرعت فلاتر (ناپایداری) و رفتار نوسانی هر یک از درجات آزادی بوده است. نتایج این بررسی‌ها نشان داد سرعت فلاتر و مرز نوسانات با دامنه محدود در رژیم جریان ناپایا دارای مقادیر بیشتری از رژیم جریان شبیه‌پایا است. علاوه بر آن دامنه نوسانات در جریان شبیه‌پایا در مقایسه با جریان ناپایا در سرعت برابر دارای اختلافات زیادی است. لذا استفاده از الگوی شبیه‌پایا در پیش‌بینی رفتار آبروالاستیک پیشنهاد نمی‌گردد. مقایسه روش حل تاریخچه زمانی با روش فضایی حالت نیز حاکی از آن بود که روش مذکور دارای دقت بالایی در حل معادلات بوده و علاوه بر این با توجه به حجم زیاد و پیچیدگی معادلات استخراج شده، نیاز به استفاده از معادلات بیشتر در روش تاریخچه زمانی در مقایسه با روش فضایی حالت را منتفی می‌نماید. در جمع‌بندی کلی می‌توان گفت، استفاده از آبروالاستیک غیرخطی درجه سه معروف شده در این مقاله، علاوه بر افزایش دقت شبیه‌سازی منحنی واماندگی استاتیکی در زوایای حمله مثبت و منفی، باعث حذف خطاهای مربوط به روش‌های گذشته در برنامه‌نویسی شده و دقت خوبی از پاسخ‌ها را ارائه می‌دهد. همچنین می‌توان بیان کرد واماندگی استاتیکی، سرعت ناپایداری در الگوهای خطی (فلاتر) و غیرخطی (نوسانات با سیکل حدی) را نسبت به آبروالاستیک خطی افزایش می‌دهد. در پایان شایان ذکر است، با استفاده از فلسفه بیان شده در این مقاله برای شبیه‌سازی معادلات آبروالاستیک غیرخطی در ناحیه استال و پس از استال، می‌توان از معادلات دیگری همچون معادلات درجه پنج یا هفت به جای معادله درجه سه در شبیه‌سازی منحنی ضریب برآزاویه حمله بخصوص برای زوایای حمله بالا و ناحیه بعد از واماندگی استاتیکی استفاده نمود.

5- فهرست علایم

الف. اصله بی بعد مرکز الاستیک از وسط وتر الاستیک	a
نصف وتر (m)	b
ضریب بی بعد نیروی برآ	C_L
ممان اینرسی نسبت به محور الاستیک (kgm^2)	I_α
ضریب ترم خطی سختی پیچشی (Nm/rad)	K_θ
ضریب ترم خطی سختی خمشی (N/m)	K_w
ضرایب ترم‌های غیرخطی سختی مرتبه دو	$K_{w2}, K_{\theta2}, K_{w\theta}$
ضرایب ترم‌های غیرخطی سختی مرتبه سه	$K_{w3}, K_{\theta3}, K_{w\theta3}, K_{w\theta2}$
جرم بالواره (kg)	m
ممان استاتیک (kgm)	S_α
تغییرمکان عمودی اولیه (m)	w_0